

防衛大学校 正垣孝晴・石井光洋・木暮敬二

## 1.はじめに

粘性土の間隙比 $e$ と圧密圧力 $p$ の関係は、沈下量の推定に直接的に用いられ実務的にも重要な土の基本的な性質である。搅乱が土の力学的性質に与える影響が大きいことはよく知られているが、乱さない粘性土の $e - \log p$ 関係に与える搅乱の影響を詳細に検討したものは少ない。本稿では、塑性、地盤強度の異なる自然堆積土の $e - \log p$ 関係に与える搅乱の影響を実験的に検討する。また、採取された試料の圧密試験結果を補正して原位置の $e - \log p$ を得るSchmertmann<sup>1)</sup>の方法の検討も行う。

## 2.供試土と試験方法

供試土は、①桑名粘土、②川口粘土、③羽田粘土、④中島粘土であり、 $I_p = (15 \sim 75)$ の粘性土である。固定ピストン式サンプラーを用いて採取した試料をチューブから押し出す際に、チューブ内径／対し断面積比が、0.95, 0.90, 0.80, 0.71, となる試料変形装置をチューブ刃先に装着し、不搅乱試料（断面積比1）と、練り返し土を含めた乱れの異なる6種類の試料を準備した。本稿では、これらの試料を断面積比に応じ、それぞれ試料A（断面積比1）、B（同0.95）、C（同0.90）、D（同0.80）、E（同0.71）、F（練り返し）と呼ぶ。供試体底部の間隙水圧が測定できる圧密箱でJIS A1217に従う圧密試験を行った。供試体サイズは直径 $d$ と高さ $h$ が、それぞれ6cm, 2cmである。また、A～Fの各試料に対し $d=15\text{mm}$ ,  $h=35\text{mm}$ の一軸圧縮試験<sup>2)</sup>を行った。

## 3.試験結果と考察

図-1は桑名粘土( $I_p=58$ )の $e - \log p$ 関係である。図中に各試料の $p_c$ 、 $C_c$ 、 $\bar{q}_u$ を示しているが、試料の乱れによってこれらの値が低下している。図-1を見ると、各試料の $e$ は $p_c$ を越えた塑性域内で一致することはなく、 $p=1280\text{kN/m}^2$ の最終荷重においても乱れによる初期構造の差を反映して $e$ が異なっていることが分かる。

図-2は膨張指数 $C_s$ と $\bar{q}_u$ 比の関係である。 $\bar{q}_u$ 比は試料Aに対する各試料の $\bar{q}_u$ 比であるが、 $C_s$ は $\bar{q}_u$ 比に関係なくほぼ一定の値を示している。このことは $p=1280\text{kN/m}^2$ の載荷後の除荷曲線は、搅乱による初期構造の差の影響を受けないと示している。図-3は $C_s/C_c$ と $\bar{q}_u$ 比の関係である。 $C_s$ は乱れの影響を受けないため $C_s/C_c$ は図-1で見た $C_c$ の変化を反映して $\bar{q}_u$ 比の減少とともに大きくなる。図-4は $C_s/C_c$ と $I_p$ の関係である、試料Aの乱さない結果に加えてSchmertmannの行った実験データを再整理してプロットしている。 $C_s/C_c$ は $I_p$ に関係なく(0～0.7)の範囲内で大きく変動し、Mesri<sup>3)</sup>の示した(0.1～0.2)とは大きく異なっている。

Schmertmann<sup>1)</sup>は、乱れの程度によらず $e - \log p$ 曲線が $0.42e_a$ の点で交わるという実験事実を示した。そして、原位置の間隙比 $e_a$ がサンプリング過程でも変化が少ないとし

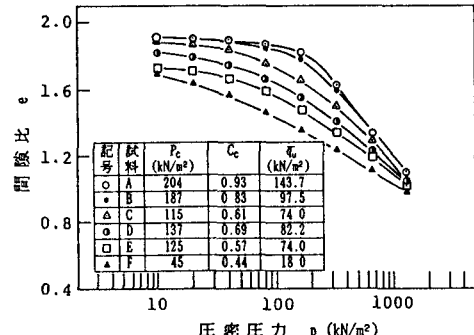
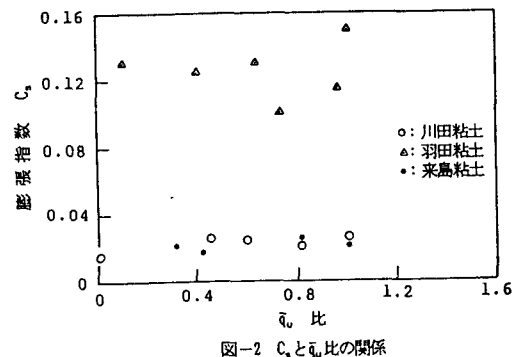
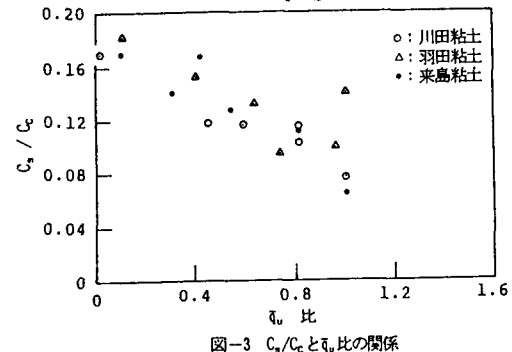


図-1 間隙比と圧密圧力の関係（桑名T-13）

図-2  $C_s$ と $\bar{q}_u$ 比の関係図-3  $C_s/C_c$ と $\bar{q}_u$ 比の関係

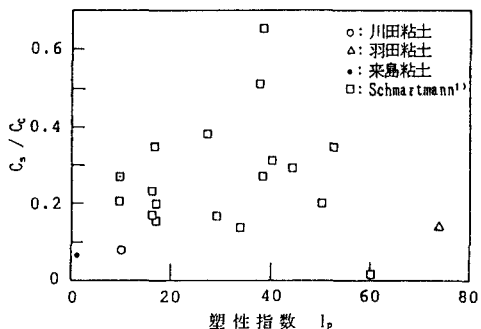


図-4  $C_s/C_c$  と  $I_p$  の関係

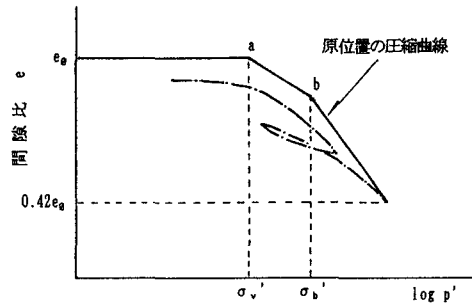


図-5 Schmartmannの  $e$ - $\log p'$  補正法

て、採取された試料の圧密試験結果を補正して原位置の  $e$ - $\log p$  関係を推定する方法を示した。すなわち、図-5において原位置の土被り圧  $\sigma_v'$  と  $e_0$  から a 点を定め、除荷再載荷部の直線と平行に a から直線を引いて b 点を定める。b 点の  $\sigma_v'$  は Casagrande 法による  $p_c$  であり、この b 点と  $0.42e_0$  を示す c 点を結んだ線を原位置の圧縮曲線とした。図-6 は試料 A の初期間隙比  $e_0$  に対し、各試料で得た  $e$ - $\log p$  曲線の交点の間隙比  $e$  の比  $R_c$  を  $I_p$  に対してプロットしたものである。  
R<sub>c</sub> は、 $I_p$  に関係なく (0.28~0.55) の比較的狭い範囲に分布し、総てのデータの平均値は 0.42 である。Schmartmann の実験は、 $I_p < 30$  の比較的塑性の低い粘性土を対象にしているが、我が国の高塑性の粘性土に対しても Schmartmann が示した係数 0.42 はあてはまるようである。

図-7 は、 $p_c$  に対する  $e$ - $\log p$  曲線の交点の  $p$  の比と  $I_p$  の関係である。 $p/p_c$  は  $I_p$  に関係なくほぼ一定値を示し、約 10 である。また、この値は地盤強度の大小にも関係しないことが図-8 から読み取れる。すなわち、粘性土の  $e$ - $\log p$  曲線は搅乱の程度、地盤強度、塑性に関係なく  $0.42e_0$  と  $10p_c$  の交点の近くに収束することを意味している。

#### 4.おわりに

搅乱による初期間隙比の変化の影響は、 $p_c$  を越えた大きな荷重下でも残ることが分かった。今後、データの蓄積によって、搅乱による  $p_c$ ,  $C_c$  の変化を考慮した  $e$ - $\log p$  曲線の補正法について検討したい。

#### (参考文献)

- 1) Schmartmann, J.H., : The undisturbed consolidation behaviour of clay, Trans. ASCE, vol. 120, pp. 1201~1233, 1955.
- 2) Shogaki, T., : Strength properties of clay by portable unconfined compression apparatus, Geo-COAST'91, pp. 85~90, 1991.
- 3) Mesri, G., : The fourth law of soil mechanics; the law of compressibility. Proc. Int. Symp. on Geotechnical engineering of soft soils, Mexico City.

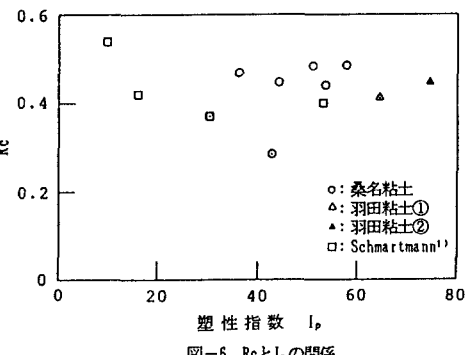


図-6  $R_c$  と  $I_p$  の関係

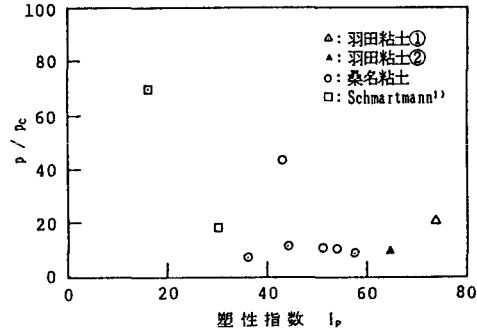


図-7  $p/p_c$  と  $I_p$  の関係

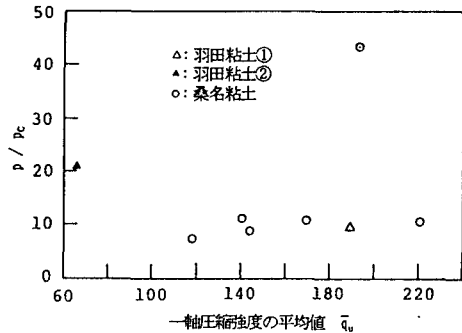


図-8  $p/p_c$  と  $q_u$  の関係